

Projektowanie algorytmów i metody sztucznej inteligencji  
Projekt  
10.05.2021

---

## PROJEKT 2

### GRAFY

---

*Autor*  
MIKOŁAJ ZAPOTOCZNY  
(252939)

Prowadzący  
*Mgr inż. Marta Emirsajłowa*

# 1 Wprowadzenie

Zrealizowałem zadanie na ocenę bdb. Problem najkrótszej ścieżki w grafie między dwoma wierzchołkami polega na znalezieniu w grafie ważonym najkrótszego połączenia pomiędzy tymi wierzchołkami. Szczególnymi przypadkami tego problemu są:

- znalezienie najkrótszej ścieżki od wybranego wierzchołka do wszystkich pozostałych wierzchołków.
- znalezienie najkrótszej ścieżki pomiędzy dwoma wybranymi wierzchołkami (ja wybrałem tę opcję).

Do rozwiązywania tego problemu służą (między innymi) dwa następujące algorytmy:

- Dijkstry - przy założeniu, że w grafie nie ma wag ujemnych. Pesymistyczna złożoność obliczeniowa algorytmu Dijkstry wynosi  $O(E + V \log V)$ .
- Bellmana-Forda – dopuszczalne są wagi ujemne, ale niedopuszczalne jest istnienie cyklu o koszcie ujemnym. Pesymistyczna złożoność obliczeniowa algorytmu wynosi  $O(VE)$ .

Ja wybrałem do realizacji algorytm Bellmana-Forda. Zaimplementowałem reprezentację grafu w postaci macierzy i listy. Badania wykonałem dla pięciu różnych liczb wierzchołków: 10, 50, 100, 500, 1000 oraz dla czterech różnych gęstości: 25 %, 50%, 75% i 100%. Dla każdego zestawu: reprezentacja grafu, liczba wierzchołków oraz gęstość wygenerowałem 100 losowych instancji, a na wykresach i w tabelach są wyniki uśrednione policzone potem w Excelu. Skupiłem się na grafach skierowanych.

Link do GitHuba: <KOD PROGRAMU>

## 2 Opis badanego algorytmu

Algorytm Bellmana-Forda – algorytm służący do wyznaczania najkrótszych ścieżek w grafie. Wyznacza najkrótsze ścieżki z jednego wierzchołka (zwanego wierzchołkiem źródłowym) do pozostałych wierzchołków. W odróżnieniu od algorytmu Dijkstry, algorytm Bellmana-Forda dopuszcza krawędzie o ujemnych wagach, nie mogą istnieć jednak ujemne cykle osiągalne z wierzchołka źródłowego. Algorytm może być również wykorzystywany do sprawdzania, czy w grafie występują ujemne cykle.

Algorytm występuje również pod nazwą algorytm Bellmana-Forda-Moore’a. Opis działania algorytmu jest poniżej.

W trakcie wykonywania algorytmu dla każdego wierzchołka zostają wyznaczone dwie wartości: koszt dotarcia do tego wierzchołka (oznaczymy go jako  $d_i$ ) oraz poprzedni wierzchołek na ścieżce (oznaczymy go jako  $p_i$ ). Na początku działania algorytmu dla wierzchołka źródłowego koszt dotarcia wynosi 0 (już tam jesteśmy), a dla każdego innego wierzchołka nieskończoność (w ogóle nie wiemy, jak się tam dostać).

Następnie dla każdej krawędzi (oznaczymy, że aktualnie analizowana krawędź ma wagę  $k$  i prowadzi z wierzchołka  $u$  do wierzchołka  $v$ ) wykonujemy następującą czynność:

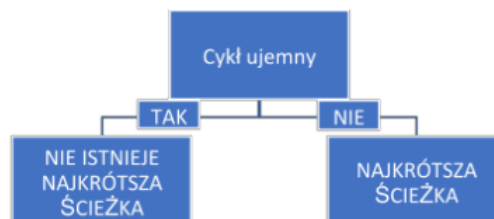
Jeżeli  $d_v > d_u + k$ , to ustawiamy wartość  $d_v$  na  $d_u + k$ , a wartość  $p_v$  na  $u$ .

Całość (przejrzenie wszystkich krawędzi) należy powtórzyć  $n-1$  razy, gdzie  $n$  jest liczbą wierzchołków. W każdej iteracji należy przejrzeć wszystkie krawędzie w tej samej kolejności. Jeśli w którejś iteracji nie nastąpią żadne zmiany, wykonywanie algorytmu można przerwać wcześniej.

Relaksacja - sprawdzenie, czy przy przejściu daną krawędzią grafu  $(u,v)$  z 'u' do 'v', nie otrzymamy krótszej niż dotychczasowa ścieżki z 's' do 'v'. Jeżeli tak, to zmniejszamy oszacowanie wagi najkrótszej ścieżki  $d[v]$ .

### Algorytm Bellmana-Forda

Podstawowe informacje	
Ważony graf skierowany	
Problem najkrótszej ścieżki	
Złożoność czasowa (najlepszy=najgorszy)	$O( V  *  E )$
Złożoność pamięciowa	$O( V )$
Idea algorytmu polega na relaksacji	
Wagi na krawędziach mogą być ujemne	
Robimy „relaksację” dla każdej krawędzi $ V  - 1$ razy	



#### TWIERDZENIE 25.14. (Poprawność algorytmu Bellmana-Forda)

Niech  $G = (V, E)$  będzie ważonym grafem skierowanym ze źródłem  $s$  i funkcją wagową  $w: E \rightarrow \mathbb{R}$ . Załóżmy, że algorytm Bellmana-Forda został wykonany dla grafu  $G$ . Jeśli graf  $G$  nie ma cykli o ujemnych wagach osiągalnych ze źródła  $s$ , to algorytm zwraca wartość TRUE,  $d[v] = \delta(s, v)$  dla każdego wierzchołka  $v \in V$  i graf poprzedników  $G_*$  jest drzewem najkrótszych ścieżek o korzeniu w  $s$ . Jeśli natomiast graf  $G$  ma cykl o ujemnej wadze osiągalny z  $s$ , to algorytm zwraca wartość FALSE.

## 3 Przebieg eksperymentów

Najpierw należy wygenerować dane do naszych eksperymentów. Mój program posiada taką opcję w menu początkowym, więc ją wybieram i czekam, aż dane się wygenerują do pliku tekstowego. Zajmuje to dłuższą chwilę czasu.

Gdy dane już się wygenerują to przechodzimy do wykorzystania tych danych. Wybierając opcję związaną z mierzeniem czasu uruchamiam się druga część programu, która też zabiera bardzo dużo czasu (dla przypadku opisanego w sprawozdaniu wygenerowanie danych i użycie ich do obliczeń zajęło ponad 1.5h, a dane zajęły ok. 1.8 GB). Plik wyników wrzucam do Excela i obliczam uśrednione wyniki oraz wykreślam wykresy, które są widoczne poniżej.

Poniżej również są przedstawione fragmenty plików generowanych przez program. Jak widzimy plik dane.txt zawiera poprawną składnię przedstawioną w opisie sprawozdania, co można potwierdzić patrząc w kod. Plik pomiar.txt przedstawia czas szukania ścieżki dla listy i macierzy, nie przedstawia jednak ścieżki w grafie. Są to ogromne pliki, których otwieranie potrafi zawiesić komputer.

```
*dane.txt x
Wczytywanie pliku dane.txt z katalogu ~/Pulpit

10 11 1
0 1 86
1 2 68
2 3 97
3 4 79
4 5 14
5 6 23
6 7 7
7 8 4
8 9 43
9 0 2
9 1 2
10 11 7
0 1 37
1 2 66
2 3 97
3 4 80
4 5 87
5 6 1
6 7 32
7 8 34
8 9 51
9 0 9
9 1 5
10 11 9
0 1 97
1 2 48
2 3 73
3 4 21
4 5 50
```

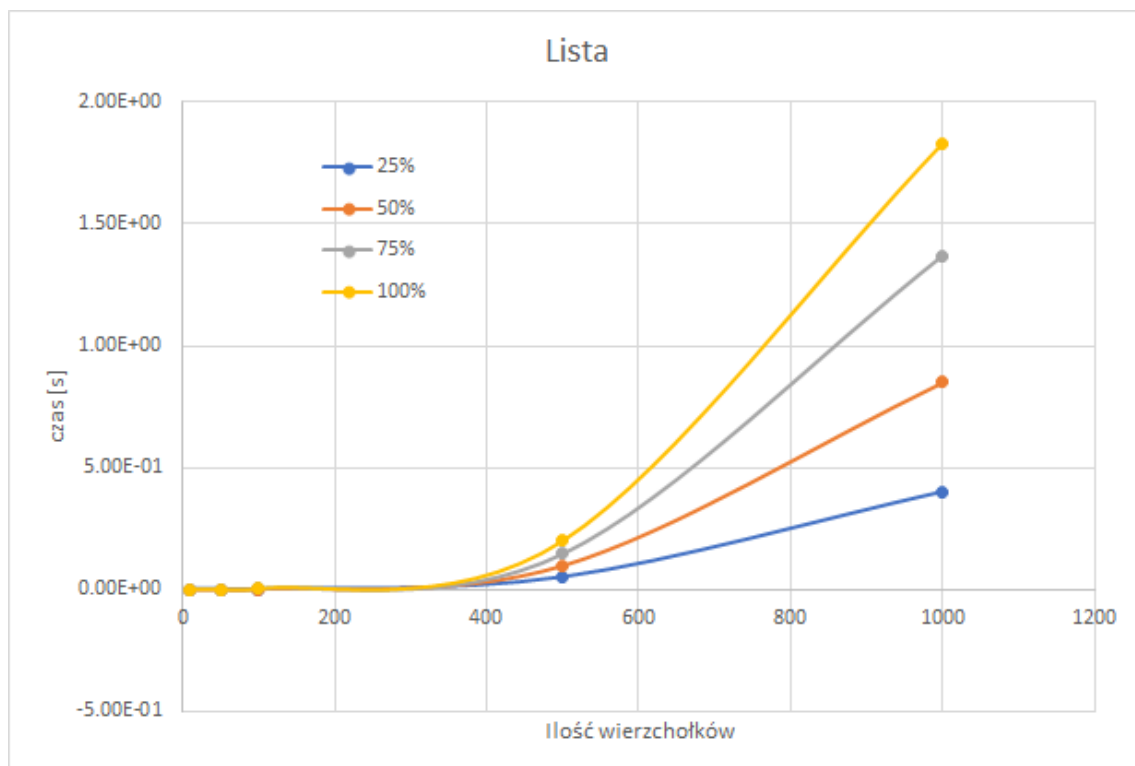
```
pomiar.txt x
macierzy: 2.94888
Czas szukania sciezki przy: 1000 i: 100% wypelnienia dla listy: 1.82831 ,a dla
macierzy: 3.52534
Czas szukania sciezki przy: 1000 i: 100% wypelnienia dla listy: 1.83068 ,a dla
macierzy: 2.69695
Czas szukania sciezki przy: 1000 i: 100% wypelnienia dla listy: 1.83289 ,a dla
macierzy: 3.64519
Czas szukania sciezki przy: 1000 i: 100% wypelnienia dla listy: 1.83323 ,a dla
macierzy: 3.04601
Czas szukania sciezki przy: 1000 i: 100% wypelnienia dla listy: 1.83215 ,a dla
macierzy: 3.5653
Czas szukania sciezki przy: 1000 i: 100% wypelnienia dla listy: 1.83299 ,a dla
macierzy: 3.5775
Czas szukania sciezki przy: 1000 i: 100% wypelnienia dla listy: 1.83328 ,a dla
macierzy: 3.0882
Czas szukania sciezki przy: 1000 i: 100% wypelnienia dla listy: 1.83354 ,a dla
macierzy: 2.82388
Czas szukania sciezki przy: 1000 i: 100% wypelnienia dla listy: 1.83135 ,a dla
macierzy: 3.34963
Czas szukania sciezki przy: 1000 i: 100% wypelnienia dla listy: 1.83454 ,a dla
macierzy: 3.12682
Czas szukania sciezki przy: 1000 i: 100% wypelnienia dla listy: 1.83217 ,a dla
macierzy: 3.29494
Czas szukania sciezki przy: 1000 i: 100% wypelnienia dla listy: 1.84197 ,a dla
macierzy: 3.30584
Czas szukania sciezki przy: 1000 i: 100% wypelnienia dla listy: 1.87469 ,a dla
macierzy: 2.7078
Czas szukania sciezki przy: 1000 i: 100% wypelnienia dla listy: 1.8549 ,a dla
macierzy: 3.19694
Czas szukania sciezki przy: 1000 i: 100% wypelnienia dla listy: 1.8488 ,a dla
macierzy: 3.66357
Czas szukania sciezki przy: 1000 i: 100% wypelnienia dla listy: 1.86165 ,a dla
macierzy: 3.09045
```

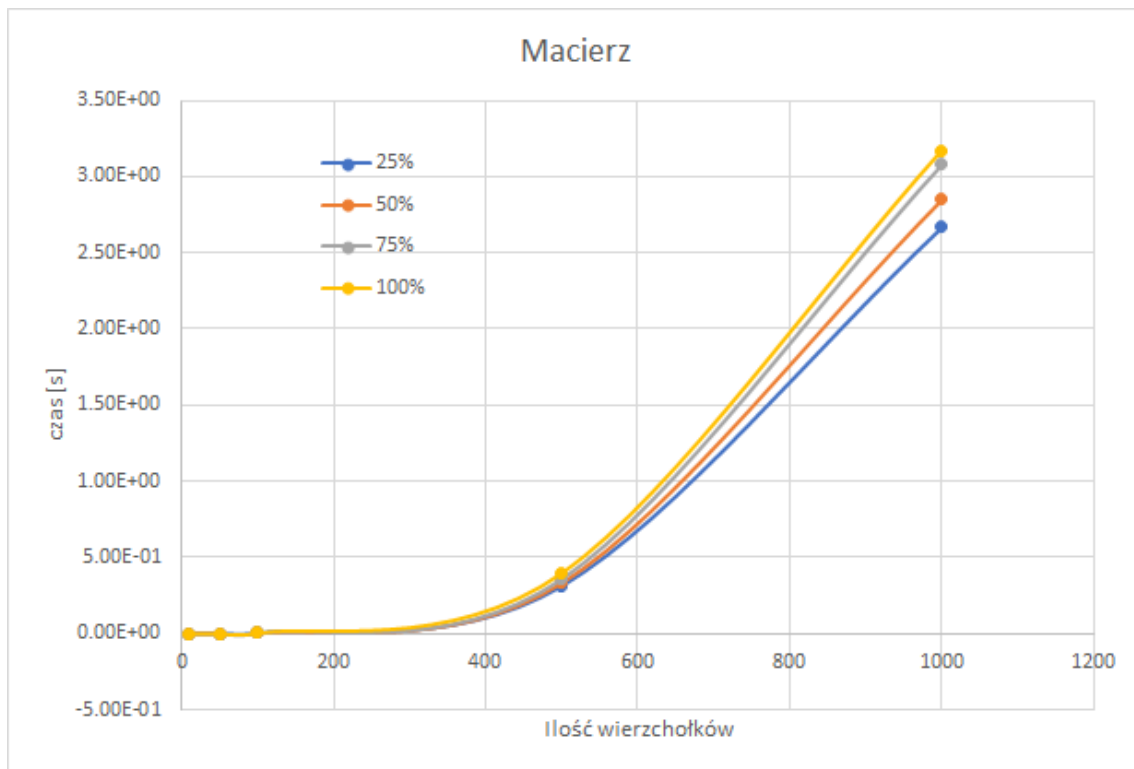
## 4 Wyniki

### 4.1 Tabelka z uśrednionymi wynikami pomiarów

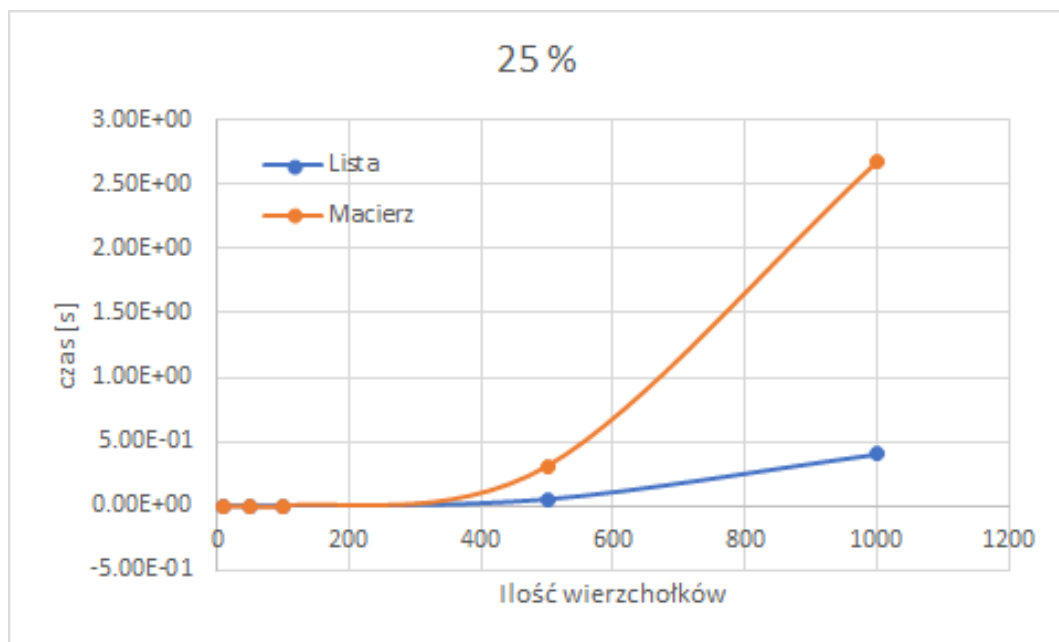
Ilość wierzchołków grafu	Gęstość [%]	czas dla listy [s]	czas dla macierzy [s]
10	25	1.17E-06	2.63E-06
50	25	5.68E-05	3.26E-04
100	25	4.61E-04	2.44E-03
500	25	4.96E-02	3.12E-01
1000	25	4.01E-01	2.67E+00
10	50	1.41E-06	2.92E-06
50	50	1.10E-04	3.50E-04
100	50	8.69E-04	2.61E-03
500	50	9.82E-02	3.35E-01
1000	50	8.49E-01	2.85E+00
10	75	1.69E-06	3.02E-06
50	75	1.72E-04	3.68E-04
100	75	1.60E-03	3.42E-03
500	75	1.46E-01	3.62E-01
1000	75	1.37E+00	3.08E+00
10	100	2.05E-06	3.25E-06
50	100	2.37E-04	3.90E-04
100	100	1.83E-03	2.95E-03
500	100	1.99E-01	3.99E-01
1000	100	1.83E+00	3.17E+00

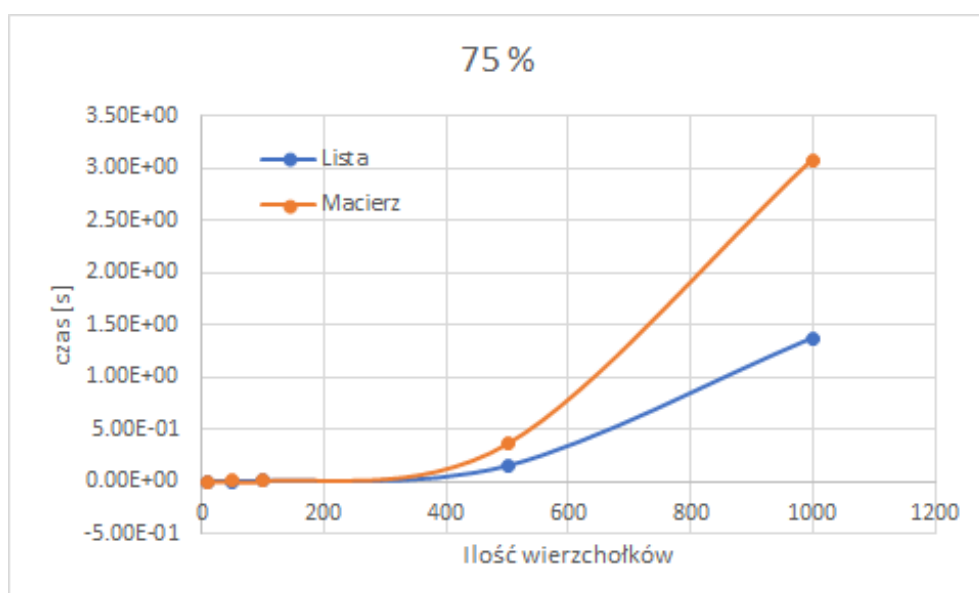
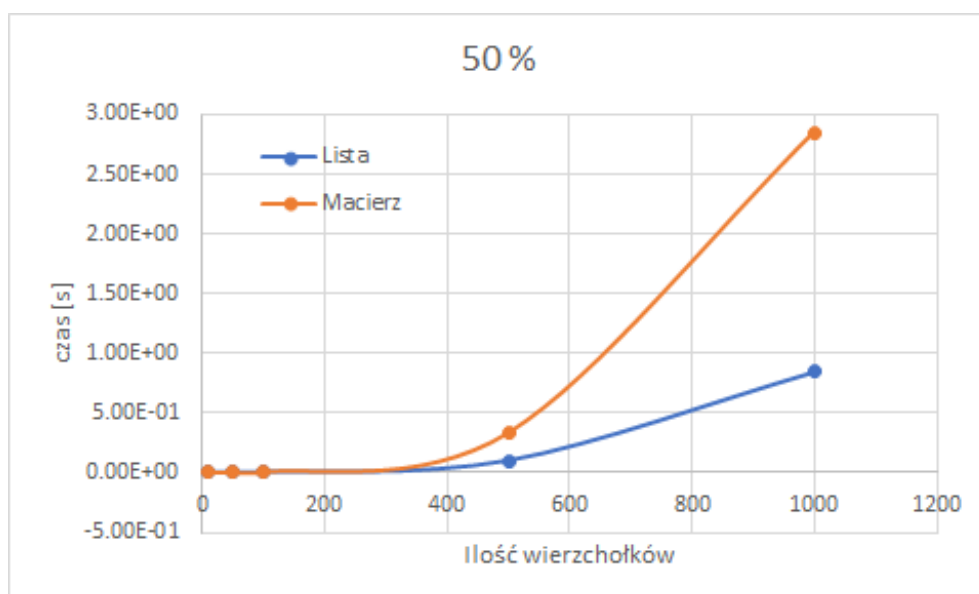
### 4.2 Wykresy dla każdej reprezentacji grafu osobno





#### 4.3 Wykresy dla każdej gęstości osobno





## 5 Wnioski

- Próby otwarcia plików tekstowych ważących ok. 1.5 GB potrafią zawiesić komputer.
- Widzimy, że im większa gęstość tym czas trwania się wydłuża, co nie jest zaskoczeniem.
- Widzimy, że czas trwania algorytmu na macierzach jest dłuższy niż na listach.
- Widzimy też, że dla macierzy nie ma tak dużej różnicy w czasie gdy grafy różnią się gęstością. Dla list jest ona trochę większa.
- Widzimy też że wraz z wzrostem procentowym gęstości macierzy i listy zmniejsza się rozbieżność w czasie trwania realizacji algorytmu.
- Widzimy, że dla większej liczby wierzchołków algorytmy trwają o wiele dłużej niż dla wartości mniejszych.

## 6 Źródła informacji

- Materiały udostępnione przez prowadzącą.
- <https://docplayer.pl/83602648-Podstawy-programowania-2-grafy-i-ich-reprezentacje-arkadiusz-chrobot-9-czerwca-2016.html>
- <http://www.algorytm.org/klasyczne/grafy-i-ich-reprezentacje.html>
- [https://en.wikipedia.org/wiki/Bellman%E2%80%93Ford\\_algorithm](https://en.wikipedia.org/wiki/Bellman%E2%80%93Ford_algorithm)
- [http://algorytmy.ency.pl/artukul/algorytm\\_bellmana\\_forda](http://algorytmy.ency.pl/artukul/algorytm_bellmana_forda)